

МІНІСТЕРСТВО ОСВІТИ І НАУКИ УКРАЇНИ
СУМСЬКИЙ ДЕРЖАВНИЙ УНІВЕРСИТЕТ
ФАКУЛЬТЕТ ТЕХНІЧНИХ СИСТЕМ ТА ЕНЕРГОЕФЕКТИВНИХ ТЕХНОЛОГІЙ
Кафедра хімічної інженерії

ЗАТВЕРДЖУЮ
Зав. кафедри

підпис, дата

Кваліфікаційна робота бакалавра

зі спеціальності 133 "Галузеве машинобудування"
освітня програма "Комп'ютерний інжиніринг
обладнання хімічних виробництв"

Тема роботи: Установка виробництва хлориду натрію.
Розробити сушарку псевдозрідженого шару

Виконала:
студентка групи ХМз – 81с
Мневець Каріна Романівна

підпис

Залікова книжка
№ 18510203

Кваліфікаційна робота бакалавра
захищена на засіданні ЕК

з оцінкою _____

" ____ " _____ 20__ р.

Підпис голови
(заступника голови) комісії

Керівник:

канд. техн. наук, доцент

Юхименко Микола Петрович

підпис, дата

СУМСЬКИЙ ДЕРЖАВНИЙ УНІВЕРСИТЕТ
ФАКУЛЬТЕТ ТЕХНІЧНИХ СИСТЕМ ТА ЕНЕРГОЕФЕКТИВНИХ ТЕХНОЛОГІЙ
Кафедра хімічної інженерії

Спеціальність 133 "Галузеве машинобудування"
Освітня програма "Комп'ютерний інжиніринг обладнання хімічних виробництв"

Курс 4 Група ХМз – 81с Семестр 8

ЗАВДАННЯ
НА КВАЛІФІКАЦІЙНУ РОБОТУ БАКАЛАВРА

Студентці Мневець Каріні Романівні

1 Тема проекту: Установка виробництва хлориду натрію. Розробити сушарку псевдозрідженого шару

2 Вихідні дані: Розробити апарат псевдозрідженого шару для сушіння кристалів NaCl у кількості 2900 кг/год. за вологим матеріалом. Вологість матеріалу, % на заг. масу: початкова – 9,0; кінцева – 2,0. Температура матеріалу, °C: початкова – 20; кінцева – 60. Теплоносій – повітря з початковою температурою 110°C. Розмір кристалів NaCl, мм: максимальний – 3,0; мінімальний – 1,0. Теплові втрати прийняти на рівні 10 %.

3 Перелік обов'язкового графічного матеріалу (аркуші А1):

- | | |
|---|------------|
| 1. <u>Технологічна схема виробництва</u> | – 1,0 арк. |
| 2. <u>Складальне креслення сушарки</u> | – 1,0 арк. |
| 3. <u>Складальне креслення кришки сушарки</u> | – 1,0 арк. |

4 Рекомендована література: 1. Методичні вказівки до виконання кваліфікаційної роботи бакалавра / укладачі: Р. О. Острога, М. С. Скиданенко, Я. Е. Михайловський, А. В. Іванія. – Суми : СумДУ, 2019. – 32 с.; 2. Лебедев П. Д. Расчет и проектирование сушильных установок / П. Д. Лебедев. – М.–Л. : Госэнергоиздат, 1963. – 320 с.

5 Етапи виконання кваліфікаційної роботи:

Етапи та розділи проектування	ТИЖНІ				
	1	2,3	4,5	6,7	8
1 Вступна частина	x				
2 Технологічна частина		xx			
3 Проектно-конструкторська частина			xx		
4 Розробка креслень				xx	
5 Оформлення записки					x
6 Захист роботи					x

6 Дата видачі завдання

жовтень 2021 р.

Керівник

підпис

доцент Юхименко М.П.

Зміст

	С.
Вступ	5
1 Технологічна частина	6
1.1 Опис технологічної схеми виробництва	6
1.2 Теоретичні основи процесу. Обґрунтування вибору конструкційних матеріалів	8
1.3 Пристрій і принцип роботи апарату	14
2 Технологічні і проектні розрахунки	17
2.1 Технологічні і теплові (енергетичні) розрахунки	17
2.2 Конструктивні розрахунки	20
2.3 Визначення висоти киплячого шару	23
2.4 Гідравлічний опір апарату	26
2.5 Вибір допоміжного обладнання	27
3 Розрахунки апарату на міцність та герметичність	30
3.1 Розрахунок на міцність корпусу сушарки	30
3.2 Розрахунок на міцність корпусу газорозподільного пристрою	31
3.3 Розрахунок і вибір опори	32
4 Монтаж і ремонт апарату киплячого шару	36
4.1 Монтаж апарату	36
4.2 Ремонт апарату	39
5 Охорона праці	43
Література	48
Додаток – Специфікації до складальних креслеників	

						ХІ.С.00.00.00 ПЗ						
Зм	Лист	№ докум.	Підпис	Дата	Виробництво хлориду натрію. Сушарка киплячого шару Пояснювальна записка			Літ.	Лист	Листів		
Розроб.	Мневець							к	р	б	4	50
Перевір.	Юхименко											
Т.контр.												
Н. контр.												
Затв.	Склабінський				СумДУ, ХМЗ – 81с							

Вступ

Хлорид натрію (NaCl, у побуті – «сіль») – тверда, прозора (у чистому вигляді) хімічна сполука з іонною кристалічною ґраткою, солонка на смак. При розчиненні у воді повністю дисоціює на катіони натрію та хлорид-аніони. Залежно від походження природного хлориду натрію, має різну ступінь чистоти та різний кількісний та якісний склад домішок, які зумовлюють його смак та колір. Хлорид натрію, який застосовується у побуті, часто зветься кухонною, харчовою чи столовою сіллю; у назві іноді вказується на джерело її походження (кам'яна, морська, озерна, виварна) та – ґатунок: чим вищий, тим менше домішок містить хлорид натрію. У воді хлорид натрію розчиняється, але в чистому виді, на відміну від кухонної солі, не гігроскопічний, – не сиріє [1].

Хлорид натрію використовується дуже широко: окрім застосування в кулінарії (як приправа до їжі і при консервуванні риби, м'яса та інших харчових продуктів), є також важливою сировиною хімічної промисловості для одержання гідроксиду натрію, соди, хлору тощо. Щорічний світовий видобуток хлориду натрію становить сотні мільйонів тонн, із яких майже 30 % використовується в харчовій промисловості [1].

Світове виробництво солі оцінюється в 280 мільйонів тон. Найбільшими світовими виробниками є Китай (60,0 млн тон), США (45,0 млн тон), Німеччина (16,5 млн тон), Індія (15,8 млн тон) та Канада (14 млн тон). Лідером виробництва хлориду натрію у США є "Akzo Nobel Salt Inc." (входить до холдингової корпорації "Akzo Nobel"), потужності виробництв якої становлять понад 10 млн тон/рік. На ринку солевидобування США помітне місце мають такі компанії, як "Morton International" (6,3 млн тон/рік), "Cargill Inc." (3,9 млн тон/рік), "Carey Salt" (1,7 млн тон/рік) [2].

Кваліфікаційну роботу бакалавра виконано у відповідності до методичних вказівок [3]. Зміст і порядок розділів у даній пояснювальній записці також формувався відповідно вимогам.

1 Технологічна частина

1.1 Опис технологічної схеми виробництва

Кухонну сіль (NaCl) в Україні отримують із насичених розчинів хлориду натрію (розсолів) шляхом випаровування води. Отримання насичених розчинів здійснюється штучним підземним вилуговуванням (розчиненням) соляних покладів. Це спеціальний гірничотехнічний спосіб розробки родовищ солі, розташованих, як правило, на глибинах понад 600 м [4].

Вилуговування солі здійснюють через свердловини діаметром 0,25–0,5 м. Окрім іонів хлориду натрію в розчин потрапляють іони і інших, небажаних, домішок. До таких належать, у першу чергу, накипформуючі домішки, а також інші, які по мірі упарювання розсолу переходять в малорозчинний стан, осідаючи на грюючих поверхнях випарних апаратів, або забруднюючи кухонну сіль. Тому, перш ніж отримувати сіль, такі розсоли необхідно очищати. Очищення полягає у видаленні домішок кальцію, магнію і нерозчинного у воді осаду [4].

Технологічна схема виробництва хлориду натрію приведена на рис. 1.1. Принцип її роботи полягає у наступному. Очищений розчин надходить на випарні установки, які містять дві чотирикорпусні системи. По мірі випаровування води в апаратах відбувається кристалізація солі. Кристали кухонної солі разом із маточним розсолом (солепульпою) з випарних апаратів надходять у відстійники, де відбувається як згущення, так і освітлення розсолу. Освітлений розсіл повертається на випарювання, а сіль потрапляє на зневоднення, яке відбувається у центрифугах. Далі сіль із вологістю 7,6 % мас. спрямовується на сушіння.

Сушіння солі – це заключна технологічна операція по отриманню готового продукту. Видалення вологи шляхом випаровування відбувається в сушарці киплячого шару, через яку пропускають потік гарячого повітря з початковою температурою 110°C. Процес сушіння закінчується, коли вологість продукту становить не більше 0,6 % мас.

Зм.	Лист	№ докум.	Підпис	Дата

XI.C.00.00.00 ПЗ

Лист

6

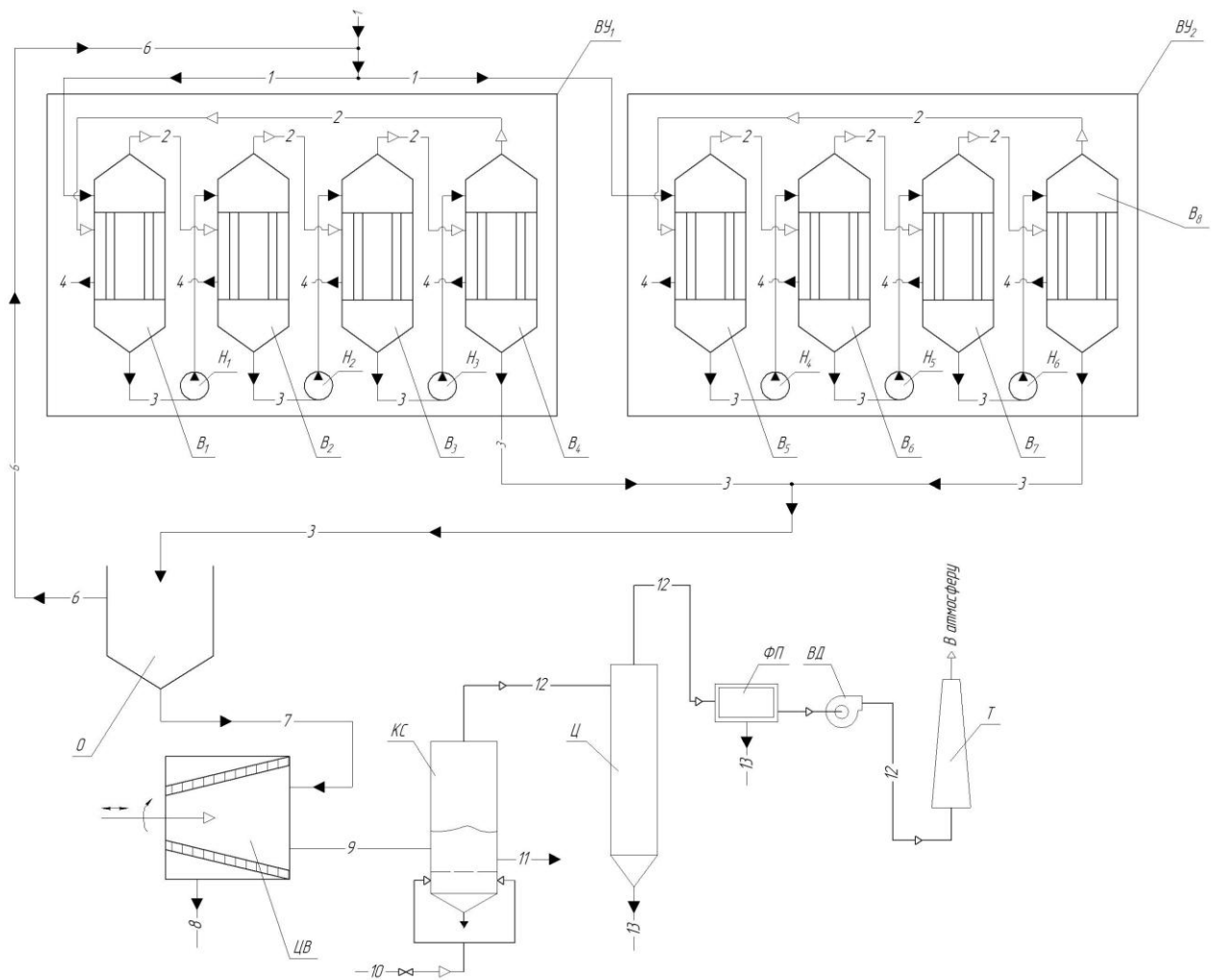


Рисунок 1.1 – Технологічна схема установки виробництва хлориду натрію: ВУ1-2 – випарні установки; В1-8 – випарні апарати; О – відстійник; ЦВ – центрифуга вібраційна; КС – сушарка киплячого шару; Ц – циклон; ФП – фільтр патронний; ВД – повітродувка; Т – вихлопна труба

На виході з сушарки киплячого шару передбачений циклон, у який спрямовується відпрацьований повітряний потік. У циклоні відбувається уловлювання винесених з апарату частинок. Після циклону повітря очищається від пилу в патронному фільтрі. Пройшовши двостадійне очищення, повітря, за допомогою вентилятора, викидається в атмосферу через вихлопну трубу.

1.2 Теоретичні основи процесу. Обґрунтування вибору конструкційних матеріалів

Теоретичний огляд, що представлено у даному підрозділі, виконано на підставі аналізу літературних джерел [5–11].

Сушіння – це процес видалення вологи з матеріалів, шляхом її випаровування і відведення пари, що утворилася. Апарати, в яких здійснюють сушку, називають сушарками. За способом передачі тепла розрізняють конвективні, контактні, терморадіаційні, сублимаційні і високочастотні сушарки. Дисперсні матеріали, до яких відносяться зернисті, порошкоподібні, гранульовані, подрібнені тверді, а також дисперговані рідкі і пастоподібні продукти, в хімічній технології висушують головним чином конвективним способом – шляхом безпосереднього зіткнення висушуваного матеріалу з сушильним агентом, в якості якого зазвичай використовується нагріте повітря або топкові гази (як правило, в суміші з повітрям).

Кожен твердий вологий матеріал здатний поглинати вологу з навколишнього середовища або віддавати її навколишньому середовищу. Навколишнє середовище може містити або тільки водяну пару, або суміш водяної пари з газами. Позначимо парціальний тиск водяної пари в суміші з повітрям через P_n . Волога, що міститься у матеріалі, відповідає певному тиску водяної пари P_m , званому тиском водяної пари у вологому матеріалі.

При контакті матеріалу з вологим повітрям можливі три стани системи:

1) тиск водяної пари у вологому матеріалі P_m більше, ніж його парціальний тиск в навколишньому повітрі або газі, тобто $P_m > P_n$. У цьому випадку відбувається десорбція вологи з матеріалу в навколишнє середовище, тобто процес сушіння. Тиск водяної пари в матеріалі P_m залежить від вологості матеріалу, температури і характеру зв'язування вологи з матеріалом;

2) парціальний тиск пари в навколишньому середовищі більше, ніж його тиск у вологому матеріалі, тобто $P_n > P_m$. У цьому випадку відбувається сорбція вологи матеріалом, тобто процес зволоження матеріалу;

Рушійна сила процесу сушіння визначається різницею тисків $P_m - P_n$, тобто різницею тиску парів вологи у поверхні матеріалу P_m і парціального тиску пари в повітрі P_n .

Розрізняють два періоди сушки: період постійної швидкості і період падаючої швидкості процесу. Протягом першого періоду волога випаровується з усієї поверхні вологого матеріалу. Швидкість сушіння постійна і визначається лише швидкість зовнішньої дифузії, тобто дифузії парів вологи з поверхні матеріалу в навколишнє середовище.

У другому періоді швидкість сушіння визначається внутрішньою дифузійною – переміщенням вологи зсередини матеріалу до його поверхні. З початку другого періоду поверхня підсушеного матеріалу починає покриватися кіркою і поверхня випаровування вологи поступово зменшується, що призводить до збільшення опору внутрішньої дифузії і до безперервного зменшення швидкості сушіння. Двом основним періодам передує деякий період прогріву матеріалу до температури сушіння.

Правильний вибір матеріалів і технології виготовлення апаратів сприяє збільшенню тривалості їх ефективної експлуатації, зниженню трудомісткості їх виготовлення та собівартості. Вибір матеріалів та заготовок обумовлюється характером виробництва, конструктивними, експлуатаційними та технологічними особливостями, а також економічною доцільністю. Для матеріалів які працюють в агресивному середовищі необхідно враховувати характер останніх, концентрацію та температуру. Вибір конструктивних матеріалів для виготовлення основних деталей і вузлів барабанної сушарки проводився на підставі [12–13].

Матеріалами для виготовлення сталевих зварних апаратів є напівфабрикати, які поставляються металургічною промисловістю у вигляді листового, сортового та фасонного прокату, труб, спеціальних поковок та відливків. Матеріали повинні бути хімічно та корозійностійкими в заданому середовищі при її робочих параметрах, володіти гарною зварюваністю та відповідними

сосудів. Поставляється у вигляді сталених листів. Характеризується гарною зварюваністю, високою міцністю та ударною в'язкістю, використовується в інтервалі температур від -70°C до $+775^{\circ}\text{C}$. Добре деформується в гарячому і холодному стані, легко піддається обробці різанням, добре зварюється всіма видами зварювання.

Сталь Ст3 – конструкційна вуглецева сталь звичайної якості. Застосовується для виготовлення збірників, насосів, несучих елементів зварних і незварних конструкцій, що працюють при температурах від -40°C до $+725^{\circ}\text{C}$. Добре зварюється усіма видами зварювання, не схильна до відпускної крихкості. Поставляється у вигляді листового та фасонного прокату.

Сталь 35Х – конструкційна легрована сталь. Застосовується для виготовлення осей, валів, шестерень та інших полішуваних деталей. Обмежено зварювана, схильна до відпускної крихкості.

Пароніт – листовий матеріал прокладки, виготовлений пресуванням асбокаучукової маси, що складається з азбесту, каучуку і порошкових інгредієнтів. Застосовується для ущільнення фланцевих з'єднань.

1.3 Пристрій і принцип роботи апарату

Об'єктом розробки є сушарка киплячого шару (рис. 1.2), яка являє собою апарат, що складається з конічного корпусу 1, газорозподільного пристрою 2, газорозподільної решітки 3 і кришки 4. Газорозподільну решітку виготовляють зі штампованого сита з круглими отворами – така конструкція має живий перетин близько 15 %.

Сушарка киплячого шару обладнана люком технологічним, оглядовими вікнами, а також штуцерами для приладів КВПіА. Встановлюється сушарка на опори-лапи (мінімум дві штуки).

Принцип роботи апарату полягає у наступному. Вихідний матеріал надходить в сушарку на газорозподільну решітку, де під дією потоку повітря приходить у зважений стан (псевдозрідження).

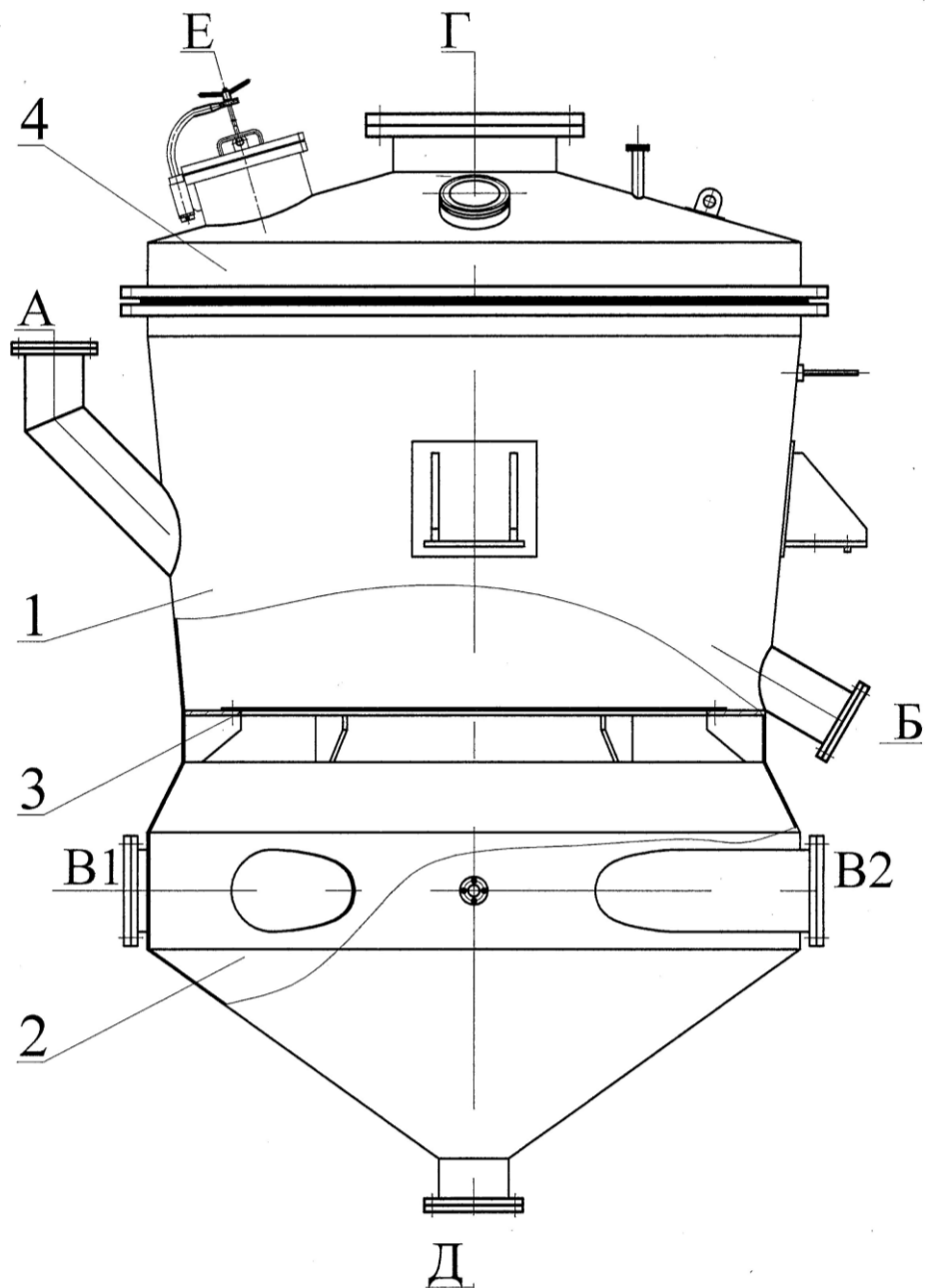


Рисунок 1.2 – Схема сушарки киплячого шару із основними технологічними потоками: 1 – корпус; 2 – газорозподільчий механізм; 3 – газорозподільна решітка; 4 – кришка; А – вхід вологого продукту; Б – вихід висушеного продукту; В1, В2 – вхід сушильного агента; Г – вихід відпрацьованого повітря; Д – вихід залишку продукту; Е – люк технологічний

У процесі сушіння дисперсний продукт переміщується по решітці і перетікає із однієї зони в іншу. Висушений матеріал виводиться із сушарки че-

рез штуцер Б, розташований в діаметрально протилежному напрямку від штуцера введення вологого продукту А.

Повітря підводиться в апарат через штуцери В1 і В2. Для відведення частинок матеріалу, які провалюються через отвори в газорозподільній решітці і опиняються в нижній частині апарату, передбачений штуцер Д. Відпрацьоване і насичене вологою повітря виводиться із сушарки через штуцер Г у верхній частині кришки.

Зм.	Лист	№ докум.	Підпис	Дата

XI.C.00.00.00 ПЗ

Лист

16

2 Технологічні і проектні розрахунки

2.1 Технологічні і теплові (енергетичні) розрахунки

Технологічний розрахунок проводимо у відповідності до методики [11].

Для початку визначимо середньорічні параметри повітря: приймаємо середньорічну температуру повітря $t_{B0} = 6,6^\circ\text{C}$ з відносною вологістю $\varphi_{B0} = 78\%$.

За діаграмою Рамзина (рис. 2.1) параметри повітря перед калорифером складають: точка А на діаграмі ($X_0 = 0,006$ кг/кг; $I_0 = 20$ кДж/кг). Тоді параметри повітря в калорифері: точка В ($t_{вн} = 110^\circ\text{C}$, $X_B = 0,006$ кг/кг, $I_B = 132$ кДж/кг).

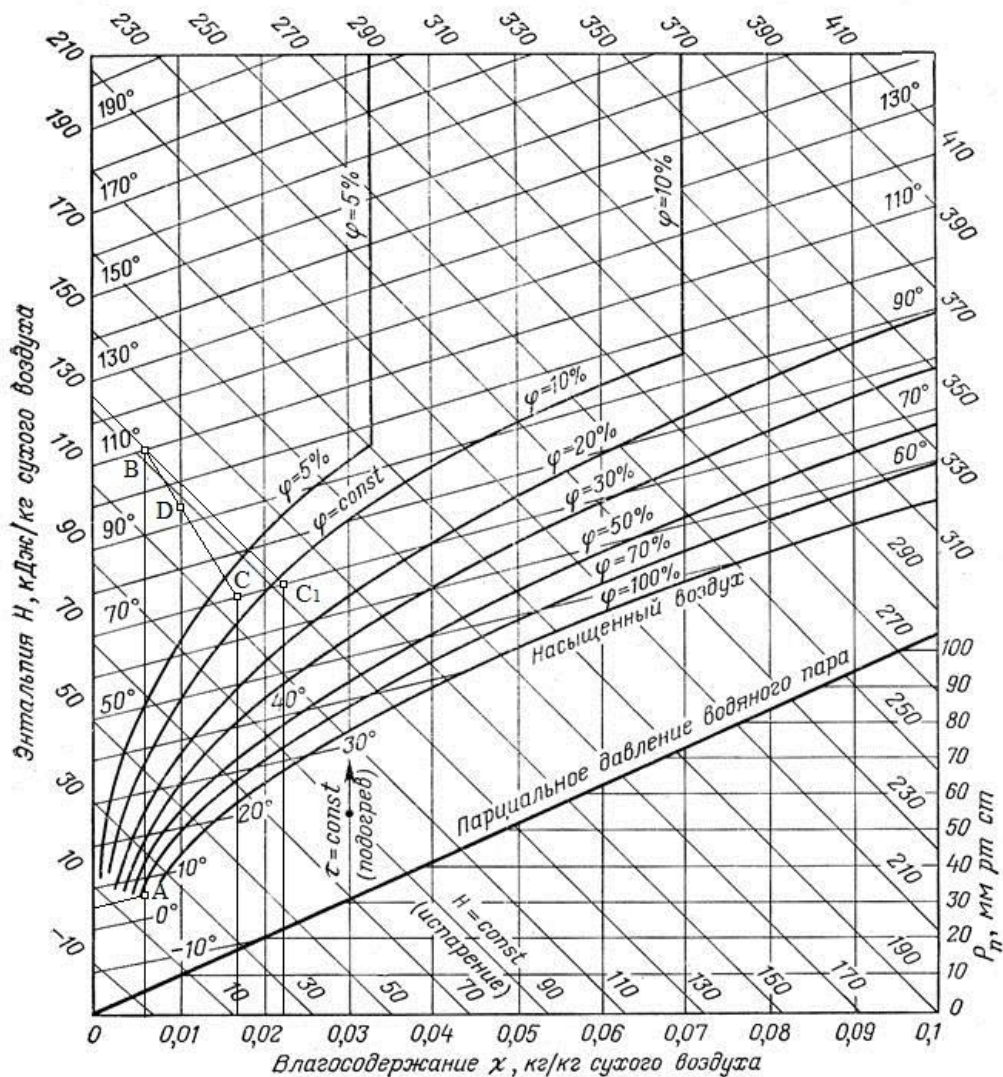


Рисунок 2.1 – Схема реального процесу сушіння

$$q_{MAT} = \frac{G_1 \cdot c_M \cdot (\theta_K - \theta_H)}{W}, \quad (2.4)$$

де c_M – питома теплоємність NaCl; $c_M = 385$ Дж/(кг·К).

$$q_{MAT} = \frac{2900 \cdot 385 \cdot (60 - 20)}{203} = 2,2 \cdot 10^5 \text{ (Дж/кг)}.$$

Із огляду на те, що втрати тепла складають 10 %, отримаємо:

$$q_{ПОТ} = 0,10 \cdot q_T = 0,10 \cdot 7,0 \cdot 10^6 = 7,0 \cdot 10^5 \text{ (Дж/кг)}.$$

Різниця температур в теоретичній і реальній сушарках:

$$\Delta q = q_{MAT} + q_{ПОТ} - c_\omega \cdot t_{B0}; \quad (2.5)$$

$$\Delta q = 2,2 \cdot 10^5 + 7,0 \cdot 10^5 - 4190 \cdot 6,6 = 8,9 \cdot 10^5 \text{ (Дж/кг)}.$$

Прийнявши значення $X = 0,01$ кг/кг, за рівнянням (2.2) розраховуємо:

$$I = 132 \cdot 10^3 - 8,9 \cdot 10^5 \cdot (0,01 - 0,006) = 128 \cdot 10^3 \text{ (Дж/кг)}.$$

Виходячи з діаграми Рамзина (рис. 2.1), визначаємо вміст вологи в повітрі на виході з сушарки. Для цього проведемо лінію через дві точки:

– точка В має координати ($X_B = 0,006$ кг/кг; $I_B = 132$ кДж/кг);

– точка D має координати ($X = 0,01$ кг/кг; $I = 128$ кДж/кг),

до перетину з ізотермою $t_{BK} = 70^\circ$ С. Відповідно знаходимо вміст вологи в повітрі, який залишає барабанну сушарку: $X_K = 0,017$ кг/кг (точка С на рис. 2.1).

Витрати сухого теплоносія в сушарці:

$$G_C = \frac{W}{X_K - X_0}; \quad (2.6)$$

$$G_c = \frac{203}{0,017 - 0,006} = 18455 \text{ (кг/год.)}$$

Витрати вологого теплоносія на виході з сушарки:

$$V_B = v_{уд} \cdot G_c \quad (2.7)$$

$$\text{де } v_{уд} = \frac{R_B \cdot T}{P - \phi_v \cdot p_{нас}} = \frac{287 \cdot (273 + 70)}{10^5 - 0,78 \cdot 3,22 \cdot 10^4} = 1,31 \text{ (м}^3\text{/кг)}$$

$$V_B = 1,31 \cdot 18455 = 24176 \text{ (м}^3\text{/год.)}$$

2.2 Конструктивні розрахунки

Для визначення площі поперечного перерізу сушарки необхідно визначити швидкість повітряного потоку в сушарці.

Швидкість початку псевдозрідження (перша критична швидкість):

$$\omega_{кр} = \frac{Re_{кр} \cdot \mu_{CP}}{d_{\text{э}} \cdot \rho_{CP}}, \quad (2.8)$$

де $\mu_{cp} = 2,2 \cdot 10^{-5} \text{ Па} \cdot \text{с}$ – в'язкість повітря при середній температурі [7];

ρ_{CP} – густина повітря при середній температурі [7];

$d_{\text{э}}$ – еквівалентний діаметр частинки, $d_{\text{э}} = 1,3 \text{ мм} = 0,0013 \text{ м}$.

Критерій Рейнольдса [11]:

$$Re_{кр} = \frac{Ar}{1400 + 5,22 \cdot \sqrt{Ar}}, \quad (2.9)$$

де Ar – критерій Архімеда.

$$Ar = \frac{d_{\text{э}}^3 \cdot \rho_{CP} \cdot g \cdot \rho_{\text{ч}}}{\mu_{CP}^2}, \quad (2.10)$$

Зм.	Лист	№ докум.	Підпис	Дата

де $\rho_{\text{ч}} = 3640 \text{ кг/м}^3$ – щільність матеріалу.

$$Ar = \frac{(0,0013)^3 \cdot 1,0 \cdot 9,81 \cdot 3640}{(2,2 \cdot 10^{-5})^2} = 162090;$$

$$Re_{\text{кр}} = \frac{162090}{18 + 5,22 \cdot \sqrt{162090}} = 76,5.$$

Підставивши в рівняння (2.8), отримаємо:

$$\omega_{\text{кр}} = \frac{76,5 \cdot 2,2 \cdot 10^{-5}}{0,0013 \cdot 1,0} = 1,29 \frac{\text{м}}{\text{с}}. \quad (2.11)$$

Швидкість віднесення частки (друга критична швидкість) $\omega_{\text{вн}}$ з сушарки «киплячого шару» визначається за допомогою критеріального рівняння [11]:

$$\omega_{\text{вн}} = \frac{\mu_{\text{ср}}}{d_{\text{э}} \rho_{\text{ср}}} \left(\frac{Ar}{18 + 0,6 \cdot \sqrt{Ar}} \right); \quad (2.12)$$

$$\omega_{\text{вн}} = \frac{2,2 \cdot 10^{-5}}{0,0013 \cdot 1,0} \cdot \left(\frac{162090}{18 + 0,6 \cdot \sqrt{162090}} \right) = 10,6 \frac{\text{м}}{\text{с}}.$$

Робочу швидкість сушильного агента вибирають в інтервалі від $\omega_{\text{кр}}$ до $\omega_{\text{вн}}$. Ця швидкість залежить від граничного числа псевдозрідження. В свою чергу, число псевдозрідження залежить від: форми частинок, форми апарату, конструкції газорозподільної решітки і т. д. [6]. Його визначення базується на підставі аналізу дослідних даних, і для наших умов ведення процесу вибираємо значення $K_{\omega} = 1,8$.

Таким чином, робоча швидкість сушильного агента:

$$\omega_{\text{р}} = K_{\omega} \cdot \omega_{\text{кр}}; \quad (2.13)$$

$$\omega_p = 1,8 \cdot 1,29 = 2,3 \frac{\text{м}}{\text{с}}$$

Діаметр решітки сушарки «киплячого шару» визначається з виразу:

$$D = \sqrt{\frac{V}{0,785 \cdot \omega_p}}; \quad (2.14)$$

$$D = \sqrt{\frac{11,09}{0,785 \cdot 2,3}} = 2,48 \text{ м.}$$

Приймаємо $D = 2,5 \text{ м}$, тоді площа решітки складе:

$$S = 0,785 \cdot D^2 = 0,785 \cdot 2,5^2 = 4,9 \text{ м}^2. \quad (2.15)$$

Згідно з рекомендаціями [9] для забезпечення осадження частинок матеріалу в сепаруючій частині необхідно розширити сепараційний простір. Діаметр сепарації простору повинен бути більше в 1,2 рази від діаметра решітки сушарки (нижньої частини).

$$D_c = D \cdot 1,2 = 2,5 \cdot 1,2 = 3 \text{ м.}$$

Тоді кут конусності обичайки складе:

$$\alpha = \arctg \left(\frac{D_c - D}{H_{\text{общ}}} \right) = \arctg \left(\frac{3 - 2,5}{2} \right) = 7,13^\circ,$$

де $H_{\text{общ}}$ – загальна висота апарату над решіткою (див. розрахунок нижче).

Діаметри штуцерів визначаємо за рівнянням:

$$d = \sqrt{\frac{V}{0,785 \cdot \omega}} \quad (2.16)$$

де G – масова витрата теплоносія;

ρ – густина теплоносія;

ω – швидкість руху теплоносія в штуцері.

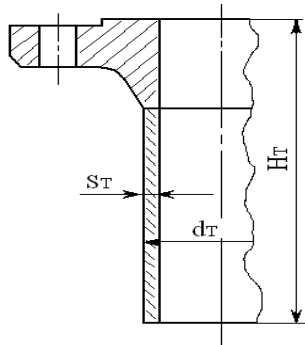


Рисунок 2.2 – Штуцер з приварним фланцем встик і виступом

Швидкості руху теплоносіїв [6]:

– для газового потоку 5-15 м / с.

Діаметр штуцера для входу і виходу повітря:

$$d_1 = \sqrt{\frac{11,09}{0,785 \cdot 15}} = 0,970 \text{ м.}$$

Приймаємо для входу повітря 2 патрубків по 500 мм, а для виходу – один патрубків із діаметром 1000 мм.

2.3 Визначення висоти киплячого шару

Висота киплячого шару [11]:

$$H = \frac{1 - \varepsilon_0}{1 - \varepsilon_{CP}} \cdot H_0, \quad (2.17)$$

де H_0 – висота шару, що знаходиться у спокої; згідно з рекомендаціями [11] приймаємо $H_0 = 0,2$ м;

ε_0 – порізність насипного шару, що знаходиться у спокої; $\varepsilon_0 = 0,4$ [11];

ε_{CP} – середня порізність киплячого шару; визначаємо за формулою [11]:

$$\varepsilon_{CP} = \left(\frac{18 \operatorname{Re}_p + 0,36 \operatorname{Re}_p^2}{Ar} \right)^{0,21}, \quad (2.18)$$

де Re_p – число Рейнольдса при робочій швидкості:

$$\operatorname{Re}_p = \frac{\omega_p d_{\text{э}} \rho_{CP}}{\mu_{CP}}; \quad (2.19)$$

$$\operatorname{Re}_p = \frac{2,3 \cdot 0,0013 \cdot 1,0}{2,2 \cdot 10^{-5}} = 135.$$

Тоді ε_{CP} дорівнює:

$$\varepsilon_{CP} = \left(\frac{18 \cdot 135 + 0,36 \cdot 135^2}{162090} \right)^{0,21} = 0,57.$$

Можемо визначити висоту киплячого шару:

$$H = \frac{1 - 0,4}{1 - 0,57} \cdot 0,2 = 0,28 \text{ м.}$$

Діаметри отворів в газорозподільній решітці визначаються за [7]:

$$d_0 = \frac{H}{80}, \quad (2.20)$$

$$d_0 = \frac{0,28}{80} = 3,5 \cdot 10^{-3} \text{ м.}$$

Діаметр отворів розподіленої решітки вибираємо із ряду нормальних розмірів, встановлених ГОСТ 6636-69.

Зм.	Лист	№ докум.	Підпис	Дата

XI.C.00.00.00 ПЗ

Лист
24

Приймаємо діаметр отворів розподіленої решітки $d_0 = 3,6$ мм.

Число отворів у розподільній решітці визначаємо за рівнянням:

$$n = \frac{D^2 \cdot F_c}{d_0^2}, \quad (2.21)$$

де F_c – живий перетин решітки; приймаємо $F_c = 0,04$ [7].

$$n = \frac{2,5^2 \cdot 0,04}{0,0036^2} = 19290.$$

За рекомендацією [7] застосовуємо розташування отворів в розподільній решітці по кутах рівносторонніх трикутників. При цьому поперечний крок t' і поздовжній крок t'' обчислюються по наступних співвідношеннях:

$$t' = 0,95d_0 F^{-0,5} = 0,95 \cdot 0,0036 \cdot 0,04^{-0,5} = 0,017 \text{ м}; \quad (2.22)$$

$$t'' = 0,866t' = 0,866 \cdot 0,017 = 0,015 \text{ м}. \quad (2.23)$$

Висоту сепараційного простору сушарки з псевдозрідженим шаром H_c приймають у 4–6 разів більше висоти псевдозрідженого шару [7]:

$$H_c = 6 \cdot H = 6 \cdot 0,28 = 1,68 \text{ м}. \quad (2.24)$$

Загальна висота апарату над решіткою:

$$H_{\text{общ}} = H_c + H = 1,68 + 0,28 = 1,96 \text{ м}. \quad (2.25)$$

Приймаємо $H_{\text{общ}} = 2$ м.

2.5 Вибір допоміжного обладнання

Розрахунок і вибір циклону Ц (див. рис. 1.1). Циклони вибираються у залежності від необхідного ступеня уловлювання частинок, розміру і властивостей частинок, вологості, температури [11].

Ретельне очищення повітря дозволяє заощадити продукт, оскільки унесення дрібних частинок матеріалу може сягати 10–15 % від загальної маси висушуваного матеріалу [8].

Ступінь очищення газу залежить від діаметра циклону і розміру часток. Найбільш поширеною конструкцією циклонів є циклон НПОГАЗ серії ЦН-15 [7]. Схему такого циклону наведено на рис. 2.3.

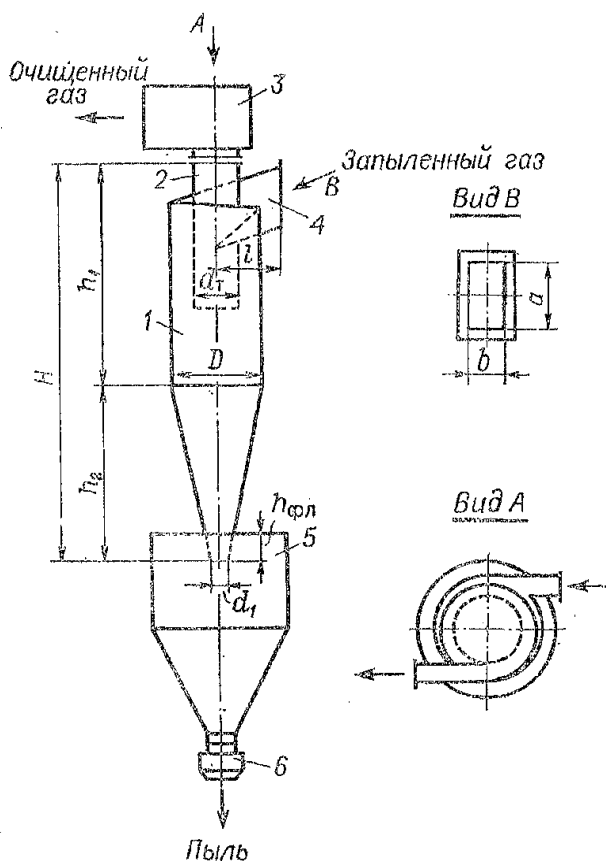


Рисунок 2.3 – Схема циклону ЦН-15

При розрахунку циклону визначають його діаметр:

3 Розрахунки апарату на міцність та герметичність

3.1 Розрахунок на міцність корпусу сушарки

Розрахунок на міцність і стійкість ведемо згідно ГОСТ 14249-89.

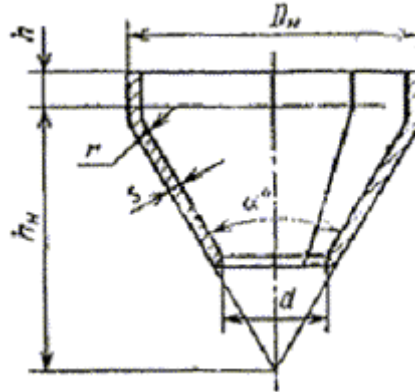


Рисунок 3.1 – Розрахункова схема корпусу сушарки

Визначаємо відношення визначальних параметрів:

$$\frac{\sigma}{p} \varphi = \frac{134}{0.1} \cdot 1 = 1340. \quad (3.1)$$

Товщину стінки знаходимо за формулою [13]:

$$S_{к\ p} = \frac{pD}{2 \cos \alpha [\sigma] \varphi}, \quad (3.2)$$

де $D=3,0$ м – найбільший діаметр апарату;

$P=0,1$ МПа – тиск гріючої пари;

$[\sigma]=134$ МН/м² – допустима напруга для сталі ВСт3.

$$S_{к\ p} = \frac{0,1 \cdot 3}{2 \cdot \cos 7,13^\circ \cdot 134 \cdot 1} = 0,001 \text{ м.}$$

Виконавча товщина стінки корпусу:

$$S = S_{к\ R} + c; \quad (3.3)$$

Допустимий внутрішній надлишковий тиск визначимо за формулою:

$$[p_{II}] = \frac{2[\sigma]\varphi(S-C)}{D+(S-C)}; \quad (3.7)$$

$$[p_{II}] = \frac{2 \cdot 134 \cdot 1,0 \cdot (3-1) \cdot 10^{-3}}{2,5 + (3-1) \cdot 10^{-3}} = 0,214 \text{ МПа.}$$

Оскільки $[p_{II}] > P$ ($0,214 > 0,1$) – умова виконується, а отже, міцність забезпечується.

Перевіряємо умови застосовуваності формул:

$$\frac{S-C}{D} \leq 0,1;$$

$$\frac{3-1}{2500} = 0,0008 < 0,1.$$

3.3 Розрахунок і вибір опори

Вибираємо опори-лапи з підкладним листом. Розрахунок на міцність обичайок від впливу опорних навантажень ведемо згідно ГОСТ 26202-84.

Маса заповненого апарату:

$$M = M_{мет} + M_3, \quad (3.8)$$

де $M_{мет}$ – маса порожнього апарату;

M_3 – маса матеріалу, що знаходиться в апараті.

Масу металу в апараті наближено приймаємо рівною масі циліндра, діаметр якого дорівнює середньому діаметру корпусу апарату $D_{cp} = (D_1 + D_2) / 2 = (2,5 + 3) / 2 = 2,75 \text{ м}$, а товщина становить $L = 3 \text{ мм}$.

$$M'_{мет} = V \cdot \rho = \pi D \cdot S \cdot L \cdot \rho = 3,14 \cdot 2,75 \cdot 3 \cdot 10^{-3} \cdot 3,5 \cdot 7874 = 714 \text{ кг.} \quad (3.9)$$

При монтажі апаратури застосовують наступні методи (рис. 4.1).

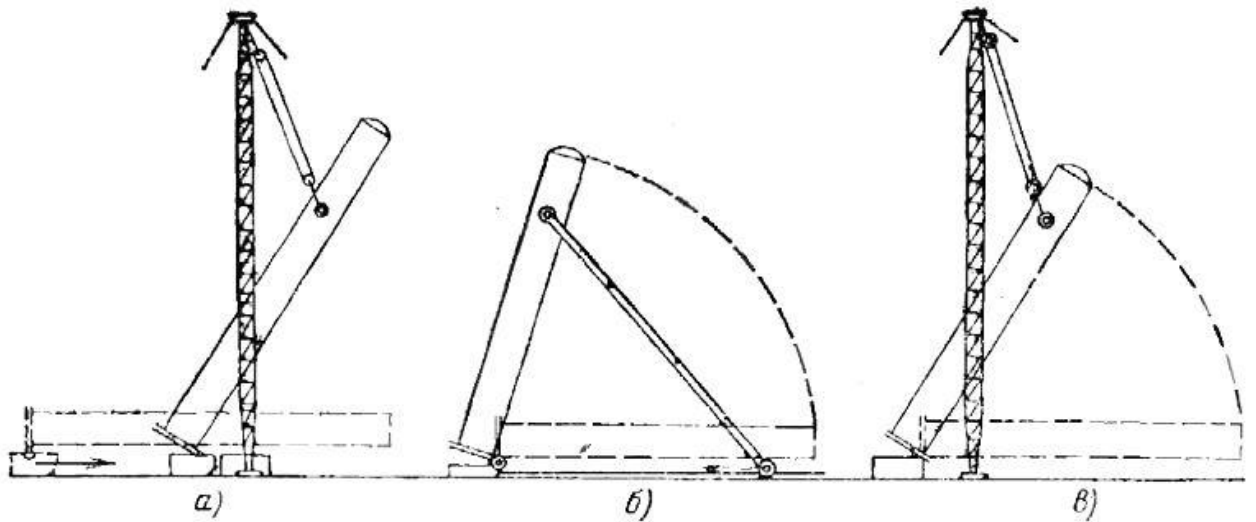


Рисунок 4.1 – Схеми монтажу: а – методом підйому і ковзання; б – методом витискання; в – методом повороту навколо шарніра

Метод ковзання без відриву від землі застосовується для установки вертикальних апаратів за допомогою самохідних кранів або щогл. Апарат підводиться за монтажні пристрої, закріплені на корпусі вище центру ваги (рис. 4.1, а). Нижня частина апарату, укладена на сани або візок, при підйомі підтягують трактором або лебідкою до фундаменту. Вантажопідйомність крану повинна бути не менше маси апарату.

Метод витискання (рис. 4.1, б) – різновид методу повороту навколо шарніра. Штовхачі закріплені за допомогою шарніра до корпусу апарата. Нижні кінці штовхачів встановлюються на колії. При роботі лебідки кінці штовхачів рухаються по рейках і піднімають апарат до вертикального положення. Цей метод застосовується в обмежених умовах, коли не можна використовувати вантажопідйомні крани і неможливо встановити щогли з розтяжками.

Метод повороту навколо шарніра (рис. 4.1, в). Шарнір розташований поблизу фундаменту і закріплений до нього. Нижній кінець апарату з'єднаний з шарнірним пристроєм. При підйомі за верхівку апарат повертається на ша-

Література

1. Вікіпедія. Хлорид натрію [Електронний ресурс]. – Режим доступу : https://uk.wikipedia.org/wiki/Хлорид_натрію
2. Мала гірнича енциклопедія : у 3 т. / за ред. В. С. Білецького. – Д. : Східний видавничий дім, 2004 – 2013.
3. Методичні вказівки до виконання кваліфікаційної роботи бакалавра / укладачі: Р. О. Острога, М. С. Скиданенко, Я. Е. Михайловський, А. В. Іванія. – Суми : Сумський державний університет, 2019. – 32 с.
4. Запаси нерудних корисних копалин в Україні [Електронний ресурс]. – Режим доступу : <https://web.archive.org/web/20110914164040/http://free.msoffice.com.ua/viewfree.php?diplomID=10373&pageid=2>
5. Лыков М. В. Сушка в химической промышленности / М. В. Лыков. – М. : Химия, 1970. – 432 с.
6. Основные процессы и аппараты химической технологии : Пособие по проектированию / Под ред. Дытнерского Ю. И. – М. : Химия, 1983. – 272 с.
7. Павлов К. Ф. Примеры и задачи по курсу процессов и аппаратов химической технологии : Учебное пособие для вузов / К. Ф. Павлов, П. Г. Романков, А. А. Носков. – 10-е изд., перераб. и доп. – Л. : Химия, 1987. – 576 с.
8. Касаткин А. Г. Основные процессы и аппараты химической технологии / А. Г. Касаткин. – М. : Химия, 1973. – 752 с.
9. Гинзбург А. С. Сушка пищевых продуктов в кипящем слое / А. С. Гинзбург, В. А. Резчиков. – М. : Пищевая промышленность, 1966. – 200 с.
10. Врагов А. П. Матеріали до розрахунків процесів та обладнання хімічних і газонафтопереробних виробництв: Навчальний посібник / А. П. Врагов, Я. Е. Михайловський, С. І. Якушко. – За ред. А. П. Врагова. – Суми : Вид-во СумДУ, 2008. – 170 с.
11. Лебедев П. Д. Расчет и проектирование сушильных установок / П. Д. Лебедев. – М.–Л. : Госэнергоиздат, 1963. – 320 с.

